

Л. Н. СИДОРОВ, А. С. АЛИХАНЯН, В. Б. ШОЛЬЦ

**ОПРЕДЕЛЕНИЕ ОТНОСИТЕЛЬНОГО СЕЧЕНИЯ ИОНИЗАЦИИ  
 $\text{LiSeF}_4$  МЕТОДОМ «ОБРАТНОЙ» ИЗОТЕРМЫ**

(Представлено академиком А. В. Новоселовой 25 II 1971)

Как было показано в работе <sup>(1)</sup>, насыщенный пар над системой  $\text{LiF} - \text{ScF}_3$  при  $1110^\circ\text{K}$  состоит из молекул  $\text{LiF}$ ,  $\text{Li}_2\text{F}_2$ ,  $\text{Li}_3\text{F}_3$ ,  $\text{LiSeF}_4$  и  $\text{ScF}_3$ . Приводим масс-спектр системы при составе конденсированной фазы 50 мол. %  $\text{ScF}_3$  и  $1166^\circ\text{K}$  ( $U_{\text{выкор}} = 2$  кв,  $U_{\text{ион}} = 56$  в):

Ионы	$\text{Li}^+$	$\text{Li}_2\text{F}^+$	$\text{Li}_3\text{F}_2^+$	$\text{LiSeF}_3^+$	$\text{ScF}_2^+$
Относительная интенсивность	100	77,5	—	8,0	5,3

Так как ионы  $\text{LiSeF}_3^+$  образуются только из молекул  $\text{LiSeF}_4$ , а коэффициенты масс-спектра  $a_{\text{ион}} = I_{\text{Li}+\text{LiSeF}_4} / I_{\text{LiSeF}_3+\text{LiSeF}_4} = 1,2 \pm 1,0$ , а  $a_{\text{ион}} = I_{\text{ScF}_2^+ + \text{LiSeF}_2} / I_{\text{LiSeF}_3^+ + \text{LiSeF}_4} = 0,7 \pm 0,2$  <sup>(1)</sup>, то на основании полученного масс-спектра можно утверждать, что насыщенный пар в области 48–100 мол. %  $\text{ScF}_3$  (гетерогенная область, прилегающая к  $\text{ScF}_3$ , <sup>(2)</sup>) при  $1160^\circ\text{K}$  состоит практически только из молекул  $\text{LiF}$ ,  $\text{Li}_2\text{F}_2$  и  $\text{LiSeF}_4$ , а ионы  $\text{ScF}_2^+$  образуются из молекул  $\text{LiSeF}_4$ .

Для определения количественного состава пара надо знать относительные сечения ионизации молекул, присутствующих в газовой фазе,

$$P_j = k_{ij} I_{ij} T = k_j T \sum_i I_{ij} = \frac{k}{\sigma_j} T \sum_i I_{ij}, \quad (1)$$

где  $\sigma_j$  — сечение ионизации молекул  $j$ ,  $\sum_i I_{ij}$  — суммарный ионный ток из молекул  $j$ . Расчет  $k_j = k / \sigma_j$  по общему уравнению, предложенному в работе <sup>(3)</sup>, возможен лишь для тех молекул, парциальные давления которых составляют не менее 15 % от общего давления в системе. Этот вывод очевиден, так как в основе определения  $k_j$  лежит измерение брутто-свойства (состава расплава) как функция времени в процессе изотермического испарения системы; присутствие же молекул, слабо представленных в паре, практически не оказывается на изменении состава расплава. Из масс-спектра, приведенного выше, следует, что содержание молекул  $\text{LiSeF}_4$  не превышает 15 %, поэтому экспериментальное определение величины отношения  $\sigma_{\text{LiSeF}_4} / \sigma_{\text{LiF}}$  по обычной методике <sup>(3)</sup> в данном случае затруднительно.

Очевидно, что задача экспериментального определения относительного сечения ионизации молекул  $\text{LiSeF}_4$  будет решена, если каким-либо образом удастся увеличить долю  $\text{ScF}_3$ , испаряющуюся в виде комплексных молекул  $\text{LiSeF}_4$ . Оказалось, что необходимые для этого условия могут быть созданы при испарении системы из 2-секционной камеры Кнудсена <sup>(4, 5)</sup>. В верхнюю секцию камеры Кнудсена помещается навеска системы известного начального состава, в нижнюю — навеска чистого  $\text{LiF}$ ; 2-секционная камера нагревается до  $1100$ – $1170^\circ\text{K}$  и производится полное изотермическое испарение обеих навесок с одновременной регистрацией основных ионов масс-спектра <sup>(3)</sup>. Так как при одной и той же температуре парциальные давления  $\text{LiF}$ ,  $\text{Li}_2\text{F}_2$  и  $\text{Li}_3\text{F}_3$  над системой значительно ниже, чем над фазой чистого  $\text{LiF}$ , то процесс испарения молекул  $\text{LiF}$ ,  $\text{Li}_2\text{F}_2$ ,  $\text{Li}_3\text{F}_3$  и

$\text{LiScF}_4$  из верхней секции сопровождается одновременной переконденсацией фторида лития из нижней секции в верхнюю. Это приводит к тому, что все новые и новые порции не летучего при этой температуре  $\text{ScF}_3$  получают возможность испаряться в виде более летучих комплексных молекул  $\text{LiScF}_4$ . Подбором соответствующих условий можно заставить практически весь  $\text{ScF}_3$  в исходной навеске системы испаряться в виде комплексных молекул  $\text{LiScF}_4$ .

На рис. 1 приведены экспериментально полученные временные зависимости ионных токов  $\text{Li}^+$ ,  $\text{Li}_2\text{F}^+$ ,  $\text{Li}_3\text{F}_2^+$ ,  $\text{LiScF}_3^+$  и  $\text{ScF}_2^+$  для процесса испарения из 2-секционной камеры Кнудсена навески системы с начальным составом 50 мол. %  $\text{ScF}_3$  при  $1166^\circ\text{K}$ . Постоянные интенсивности ионных

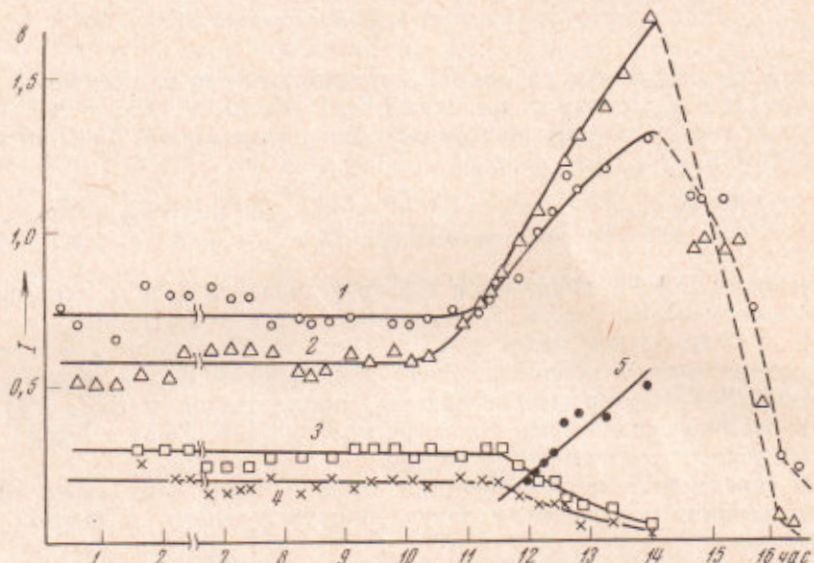


Рис. 1. Временные зависимости ионных токов для «обратной» изотермы с начальным составом 50 мол. %  $\text{ScF}_3$  при  $1166^\circ\text{K}$ . 1 —  $\text{Li}^+$ , 2 —  $\text{Li}_2\text{F}^+$ , 3 —  $\text{LiScF}_3^+$  ( $\times$ ), 4 —  $\text{ScF}_2^+$  ( $\square$ ), 5 —  $\text{Li}_3\text{F}_2^+$  ( $\bullet$ ). Пунктиром обозначено выгорание последних порций веществ

токов в начале опыта согласно диаграмме состояния системы (2), отвечают испарению из гетерогенной области расплава состава 48 мол. %  $\text{ScF}_3$  — фаза кристаллов  $\text{ScF}_3$ . Последующее затем возрастание интенсивностей ионных токов  $\text{Li}^+$ ,  $\text{Li}_2\text{F}^+$ ,  $\text{Li}_3\text{F}_2^+$  и падение интенсивностей  $\text{LiScF}_3^+$  и  $\text{ScF}_2^+$  означает, что разгонка системы при испарении из 2-секционной ячейки Кнудсена за счет непрерывной переконденсации  $\text{LiF}$  из нижней секции оказалась «обращенной» в сторону легколетучего компонента  $\text{LiF}$ . А это, в свою очередь, означает, что при таком проведении эксперимента нам удалось практически весь  $\text{ScF}_3$  в исходной навеске системы связать и испарить в виде комплексных молекул  $\text{LiScF}_4$ . Принимая во внимание, что  $\text{LiF}$  испарился в основном в виде молекул  $\text{LiF}$ ,  $\text{Li}_2\text{F}_2$  и  $\text{LiScF}_4$ , а  $\text{ScF}_3$  практически только в виде молекул  $\text{LiScF}_4$ , можно написать

$$q_{\text{LiF}} = k_{\text{LiF}} B_{\text{LiF}} \int_0^t \sum_i I_i \text{LiF} dt + k_{\text{Li}_2\text{F}_2} B_{\text{Li}_2\text{F}_2} \int_0^t \sum_i I_i \text{Li}_2\text{F}_2 dt + \\ + \frac{M_{\text{LiF}}}{M_{\text{LiScF}_4}} k_{\text{LiScF}_4} B_{\text{LiScF}_4} \int_0^t \sum_i I_i \text{LiScF}_4 dt; \quad (2)$$

$$q_{\text{ScF}_3} = \frac{M_{\text{ScF}_3}}{M_{\text{LiScF}_4}} k_{\text{LiScF}_4} B_{\text{LiScF}_4} \int_0^t \sum_i I_i \text{LiScF}_4 dt,$$

где  $q_{\text{LiF}} = q_{\text{LiF(I)}} + q_{\text{LiF(II)}}$  — суммарное весовое количество LiF в верхней (I) и нижней (II) секциях,  $q_{\text{ScF}_3} = q_{\text{ScF}_3(\text{I})}$  — весовое количество  $\text{ScF}_3$  в верхней (I) секции;  $B_i = La_i \sqrt{M_i T / 2\pi R}$ , где  $La_i$  — площадь эфузионного отверстия верхней секции ( $a_i$ ), умноженная на коэффициент Клаузинга  $L$ ;  $M_i$  — молекулярный вес;  $T$  — температура;  $k_i = k / \sigma_i$ , где  $k$  — константа, характеризующая чувствительность масс-спектрометра. Относительное сечение ионизации молекул  $\text{Li}_2\text{F}_2$  взято из работы (°),  $\sigma_{\text{Li}_2\text{F}_2} / \sigma_{\text{LiF}} = k_{\text{LiF}} / k_{\text{Li}_2\text{F}_2} = 1,6 \pm 0,4$ . Относительное сечение ионизации молекул  $\text{LiScF}_4$   $\sigma_{\text{LiScF}_4} / \sigma_{\text{LiF}}$  получилось равным  $1,5 \pm 0,5$ . Ошибка в определении таким образом величины  $\sigma_{\text{LiScF}_4} / \sigma_{\text{LiF}}$  зависит главным образом от точности расшифровки ионных токов; ошибка за счет переконденсации  $\text{LiScF}_4$  из верхней секции в нижнюю не превышает  $10-12\%$ .

**Обсуждение результатов.** Основным методическим требованием при исследовании 2-компонентных систем методом изотермического испарения (°) является равновесное проведение процесса изотермического испарения системы. Существуют разные способы проверки наличия равновесия при изотермическом испарении. В первую очередь, это воспроизведимость экспериментальных данных при изменении параметров эфузионной камеры и скоростей изменения состава расплава в процессе изотермического испарения, а также проверка выполнимости тех или иных термодинамических соотношений.

Экспериментальное осуществление процесса разгонки 2-компонентной системы в обратном направлении, т. е. в сторону увеличения общего давления в системе, дает наиболее прямой путь проверки равновесности процесса изотермического испарения. Этот процесс удалось осуществить путем испарения системы из 2-секционной камеры Кнудсена с непрерывной подачей легколетучего компонента из нижней секции в верхнюю. Покажем, что в процессе «обратной» разгонки система проходит через те же состояния равновесия, что и в соответствующем «прямом» процессе. Из диаграммы состояния системы  $\text{LiF} - \text{ScF}_3$  (°) известно, что при  $1166^\circ \text{K}$  в равновесии с кристаллами  $\text{ScF}_3$  находится расплав состава  $48 \pm 3$  мол. %  $\text{ScF}_3$ . Расчет этой величины по уравнению Гиббса — Дюгема (°)

$$d \ln I_{\text{LiScF}_4} / d \ln I_{\text{Li}_2\text{F}_2} = (n_{\text{ScF}_3} - n_{\text{LiF}}) / 2n_{\text{ScF}_3} \quad (3)$$

из «обратной» изотермы с начальным составом 50 мол. %  $\text{ScF}_3$  дал значение 48 мол. %  $\text{ScF}_3$ . Аналогичный расчет для «прямой» изотермы с начальным составом 5 мол. %  $\text{ScF}_3$  дал величину 47 мол. %  $\text{ScF}_3$ . Так как рассчитанный по уравнению Гиббса — Дюгема состав расплава, строго говоря, относится к концентрации поверхностного слоя, совпадение этих величин в пределах ошибок эксперимента для «прямой» и «обратной» изотерм свидетельствует о том, что не происходит обогащения поверхностного слоя труднолетучим компонентом в «прямой» изотерме и легколетучим — в «обратной». О наличии равновесия свидетельствует также постоянство константы равновесия реакции



в процессе изотермического испарения системы (см. рис. 2).

В данной работе «обратная» изотерма была использована для того, чтобы испарить  $\text{ScF}_3$  практически полностью в виде молекул  $\text{LiScF}_4$  и благо-

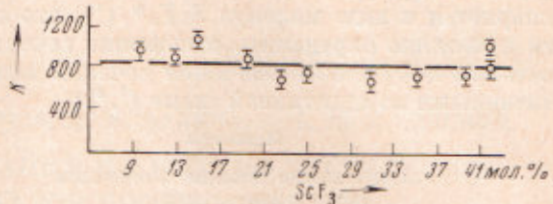


Рис. 2. Зависимость константы равновесия  $K = I_{\text{Li}_2\text{F}_2} / I_{\text{LiF}} + I_{\text{Li}_2\text{F}_2}$  от состава конденсированной фазы ( $\text{Li}_2\text{F}_2(\text{r}) \rightleftharpoons 2\text{LiF}(\text{r})$ ) в «обратной» изотерме с начальным составом 50 мол. %  $\text{ScF}_3$  ( $T = 1166^\circ \text{K}$ )

даря этому определить отношение сечений ионизации  $\text{LiF}$  и  $\text{LiScF}_4$ . Низкое содержание  $\text{LiScF}_4$  в насыщенном паре системы не позволяет этого сделать в «прямых» изотермах. В «прямых» изотермах основная доля  $\text{ScF}_3$  испаряется в виде молекул  $\text{ScF}_3^*$ <sup>(1)</sup>, что с достаточной степенью точности позволило определить отношение сечений ионизации  $\text{LiF}$  и  $\text{ScF}_3$ . Сопоставим полученные значения сечений ионизации с теоретическими, рассчитанными по аддитивной схеме<sup>(7, 8)</sup>:

Молекулы	$\text{LiF}$	$\text{LiScF}_4$	$\text{ScF}_3$
Относительные сечения ионизации			
Экспериментальные	1,00	$1,5 \pm 0,5$	$1,4 \pm 0,2$
Теоретические	1,00	3,1	2,1

Ввиду того, что цель работы в конечном итоге — определение термодинамических характеристик системы, специальные меры по исключению дискриминационных эффектов в ионном источнике масс-спектрометра не принимались. Поэтому полученные сечения ионизации (но не парциальные давления) могут содержать некоторую систематическую ошибку, связанную с конструкцией ионного источника. Сопоставление полученных сечений с теоретическим позволяет оценить ошибку, которая вносится в тех случаях, когда при определении парциальных давлений мы вынуждены пользоваться сечениями ионизации молекул, рассчитанными по аддитивной схеме.

Московский государственный университет  
им. М. В. Ломоносова

Поступило  
25 II 1971

#### ЦИТИРОВАННАЯ ЛИТЕРАТУРА

- <sup>1</sup> Л. Н. Сидоров, А. С. Алиханян, ЖФХ, 45, № 3 (1971). <sup>2</sup> Э. М. Бабаева, Г. А. Бухалова, ЖИХ, 11, 8 (1966). <sup>3</sup> Л. Н. Сидоров, ДАН, 184, 889 (1969). <sup>4</sup> Л. Н. Сидоров, ЖФХ, 45, № 4, 1015 (1971). <sup>5</sup> А. С. Алиханян, Кандидатская диссертация, МГУ, 1971. <sup>6</sup> Л. Н. Сидоров, Современные проблемы физической химии, 6, 1971. <sup>7</sup> J. Mann, Chem. Phys., 46, 1646 (1967). <sup>8</sup> J. W. Otwos, D. P. Stevenson, J. Am. Chem. Soc., 78, 546 (1956). <sup>9</sup> R. A. Kent, K. F. Zmbov et al., J. Inorg. and Nucl. Chem., 28, 1419 (1966).

\* Так как летучесть чистого  $\text{ScF}_3$  более чем на два порядка ниже летучести чистого  $\text{LiF}$  (<sup>5, 9</sup>), для полного испарения  $\text{ScF}_3$  в исходной плавске приходилось в конце опыта поднимать температуру на 200—250° С.